УДК 552.162:548.526

ПЕТРОГРАФИЯ

Ю. В. НАГАЙЦЕВ

О НЕКОТОРЫХ ТИПАХ РЕАКЦИЙ ПРОГРЕССИВНОГО МЕТАМОРФИЗМА В МЕТАПЕЛИТОВЫХ ПОРОДАХ (НА ПРИМЕРЕ ЛАДОЖСКОЙ ФОРМАЦИИ)

(Представлено академиком Д. С. Коржинским 14 IX 1971)

При исследовании метаморфической зональности (андалузит-силлиманитового типа) в метапелитовых кварцсодержащих породах ладожской формации были изучены некоторые химические резкции прогрессивного этапа метаморфизма с участием железо-магнезиальных минералов. Кратко остановимся на двух из них: 1) на образовании граната в гранат-биотитовых сланцах и гнейсах, имеющем в Приладожье ряд черт общего значения, и 2) на образовании гранат-кордиеритовых парагенезисов за счет силлиманита и биотита. В породах ладожской формации последнюю реакцию, неоднократно обсуждавшуюся в литературе (1-5), удается проследить в широком температурном интервале, а состав минералов охарактеризовать на разных этапах процесса, что представляет несомненный интерес.

Образование граната в гранат-(ставролит)-биотитовых сланцев и гнейсах по характеру производящих гранат реакций можно подразделить на два этапа. На первом этапе, охватывающем гранатовую, ставролит-андалузитовую и спллиманит-мусковитовую ступени метаморфизма, образование граната (за счет хлорита и мусковита, ставролита и мусковита) сопровождается развитием биотита. Поскольку биотит образуется на этом этапе и в ходе других реакций, его содержание к силлиманит-мусковитовой зоне быстро возрастает и достигает в ней максимальной величины 35 об.% (см. табл. 1). Железистость сосуществующих граната и биотита f == FeO / (FeO + MgO) (мол. %) в однотинных ассоциациях с ростом метаморфизма закономерно уменьшается (полные химические апализы приводятся в работах $\binom{4-6}{1}$). При этом оказывается, что минералы в гранатбиотитовых сланцах ставролит-андалузитовой зоны более железисты по сравцению с гранатом и биотитом гранат-ставролит-биотитовых сланцев (табл. 1, рис. 1), а биотит, помимо того, обладает повышенной глиноземистостью. Видимо, присутствие в породах ставролита — сильного концентратора Al и Fe²⁺ — оказывает существенное влияние на снижение содержания этих элементов. Однако в силлиманит-мусковитовой зоне подобное влияние ставролита незаметно, поскольку гранат-биотитовые и ставролитгранат-биотитовые ассоциации неизофациальны в узком смысле этого слова. Общим для этого этапа метаморфизма будет возрастание содержаиня калия в биотите и суммарного содержания Fe²⁺ + Mg, а также тенденция к снижению Al^{vi} в однотипных ассоциациях.

Переход от силлиманит-мусковитовой зоны в силлиманит-калиевополевошиатовую и далее в гиперстеновую сопровождается возрастанием в гранат-биотитовых гнейсах содержания граната при снижении биотита. Этот процесс, отмечавшийся и в других районах (7, 8), в Приладожье является следствием развития граната (при снижении его железистости) за счет биотита. Железистость биотита обнаруживает значительные колебания, сначала несколько повышаясь вследствие изменения минералообразующей реакции, а при переходе от силлиманит-калиевополевошпатовой зоны в

Таблица 1 Характеристика состава граната и биотита, рассчитанного на основе 12 (O, OH, F), из метапелитовых пород ладожской формации

Зона	Парагенезис	Гранат			Биотит										
		ср. со- держ., об. %	f, мол. %	число обр.	ср. со- держ., об. %	f, мол. %	элем. состав, %								10 OI
							Si	Al _{общ}	A ₁ VI	Ti	Fe ³⁺	Fe²+	Mg	К	Число
Гранатовая Ставролит-андалу- зитовая Силлиманит-мус- ковитовая Часть силлиманит- калиевополево- шиатовой, погра-	Гр + Би + Му + Хл + Пл + Кв Гр + Би + Ил + Кв ± Хл ± Му Гр + Би + Став + Пл + Кв ± Му ± Хл Гр + Би + Ил + Кв (+ Сил) Гр + Би + Став + Сил + Ил + Кв ± Му Гр + Корд + Би + Сил + КПШ + Пл + Кв	0,5 } 1,5 } 3	91,7 90,1 86,4 81,0 82,6 81,9	1 5 4 4 2 4	15—20 } 30 } 35	ſ	2,58 2,65 2,59 2,62	1,56 1,83 1,76 1,75 1,74 1,75	0,41 0,41 0,34 0,36	0,10 0,11 0,10 0,10	0,12 0,14 0,16 0,13	1,23 1,12 1,05 1,08	0,89 1,02 1,15 1,07	0,78 0,78 0,81 0,80	3 5 3 2
ничная с силли- манит-мусковито- вой															
Силлиманит-ка- лиевополевошна- товая	Гр + Бп + КИШ + Пл + Кв Гр + Корд + Би + Спл + КИШ + Пл + Кв	} 5	77,2	10 4	} 20			1,60 1,63							
Гиперстеновая	Гр + Би + КПШ + Пл + Кв Гр + Корд + Би ± Сил + КПШ + Пл + Кв	} 8	75,3 69,5	9 4	} 15			1,55 1,62							

гиперстеновую — незначительно снижаясь (рис. 1). В составе биотита, кроме того, снижается глиноземистость, в основном, как и в других районах (9), за счет содержания $\mathrm{Al^{vI}}$, и повышается суммарное содержание $\mathrm{Fe^{2+}} + \mathrm{Mg}$. Заметное повышение содержания калия в биотитах силлиманит-калиевополевошпатовой зоны сменяется при переходе в гиперстеновую

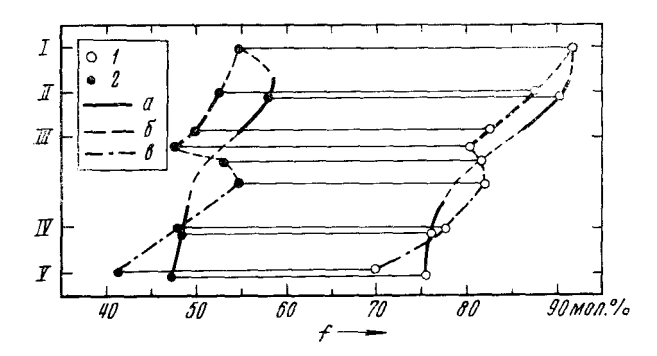


Рис. 1. Характер изменения железистости граната (1) и биотита (2) в метапелитовых породах ладожской формации. a — гранат-биотитовые сланцы и гнейсы, \hat{e} — ставролит-гранат-биотитовые сланцы, e — гранат-кордиерит-биотитовые гнейсы. Зоны метаморфизма I — гранатовая, II — ставролит-андалузитовая, III — силлиманит-жусковитовая, IV — силлиманит-калиевополевошпатовая, V — гиперстеновая

зону снижением, вызванным, видимо, переходом калпевополевошпатовой составляющей в процессе селективного плавления в расплав, как это отмечалось в экспериментальных работах (10). Помимо биотита, в реакции образования граната участвуют плагиоклаз и магнетит (титаномагнетит), нередко встречающиеся в виде «оплавленных» включений в образующемся

гранате. Участие плагиоклаза в реакции подтверждается как присутствием его в качестве включений и обеднением этих включений анортитовой составляющей (на 15—20 номеров), так и намечающейся связью известковистости граната и содержания в породе плагноклаза (и СаО). Участие же рудного минерала отчетливо прослеживается в случае развития граната по биотиту, содержащему пластинчатые выделения магнетита или титаномагнетита (рис. 2). В общем виде реакция образования граната протекает по следующей схеме:

$$(a\Gamma p) + bE_{\Pi} \approx a'\Gamma p' + b'E_{\Pi}'(+K\Pi \coprod) + H_2O,$$
 (1)

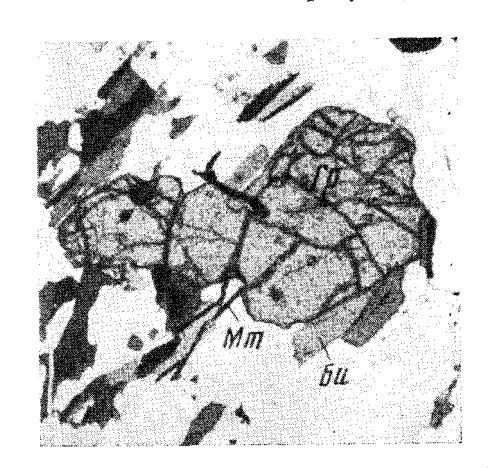


Рис. 2. Развитие граната (Γp) по биотиту (Bu) и магнетиту (Mr)

где всегда a < a' и b > b', поскольку гранат развивается по биотиту, и $f_{\Gamma p'} > f_{\Gamma p'}$, а $f_{\rm Bu}$, как правило, также больше $f_{\rm Bu}$. Присутствие граната в качестве исходного реагента возможно, но не обязательно, что подтверждается увеличением частоты встречаемости гранатсодержащих пород в пределах силлиманит-калиевополевошпатовой и гиперстеновой зон по сравнению с зонами более слабого метаморфизма.

Поскольку в зонах сравнительно слабого метаморфизма (включая силлиманит-мусковитовую) ассоциация гранат-кордиерит не встречается (11), хотя и отмечается переслапвание гранат- и кордиеритсодержащих пород, начало образования граната и кордиерита по реакции

достаточно четко устанавливается появлением в силлиманит-калиевополевошпатовой зоне гранат-кордиерит-биотитовых гнейсов. Переход от (гранат)-силлиманит-биотитовых пород к гранат-кордиерит-биотитовым сопровождается резким повышением железистости биотита и заметным повышением железистости граната, обусловленными образованием кордиерита — преимущественного концентратора магния (рис. 1, табл. 1). В самих гранат-кордиерит-биотитовых гнейсах отмечается последовательное снижение железистости названных минералов. Кроме того, в биотите, аналогично биотитам гранат-биотитовых гнейсов, снижается глиноземистость (при общем более высоком ее значении в биотитах гранат-кордиерит-биотитовых гнейсов) и повышается суммарное содержание Fe²⁺ + Mg. Более низкая средняя железистость граната и биотита кордиеритсодержащих гнейсов гиперстеновой зоны получается, видимо, вследствие включения в эту группу гранат-кордиерит-биотитового гнейса 186 с очень низкожелезистыми гранатом и биотитом (4), образовавшегося, видимо, при высокой температуре и более высоком давлении. Расчет величины давления при образовании этой породы по упрощенной формуле, полученной для гранат-кордиерит-биотитовых пород:

$$\begin{split} P\left(\kappa \text{ба p}\right) &= 25.9 + 2.26 \ln K_{\text{Bu}}^{\text{Al}^{\text{IV-VI}}} + 5.90 \,\overline{\text{Mg}}_{\text{Гр}} - 11.80 \,\text{Al}_{\text{Bu}}^{\text{обш}} \\ \text{(где } K_{\text{Bu}}^{\text{Al}^{\text{IV-VI}}} &= \frac{\text{Si}_{\text{Bu}} \text{Al}_{\text{Bu}}^{\text{VI}}}{\text{Al}_{\text{Bu}}^{\text{IV}} \left(\Sigma \left(\text{VI}\right)_{\text{Bu}} - \text{Al}_{\text{Bu}}^{\text{VI}}\right)} \; ; \, \overline{\text{Mg}}_{\text{Гр}} &= \frac{\text{Mg}}{\text{Mg} + \text{Fe}^{2+} + \text{Mn} + \text{Ca}} \; ; \end{split}$$

 ${
m Al}^{
m o f m}_{
m B m}$ — количество общего алюминия в биотите, и все при расчете кристаллохимической формулы биотита на 22 заряда анионов),— дает 6 кбар, гогда как давление при образовании остальных пород составляет 4 ± 0.8 кбар.

Таким образом, из проведенного краткого обзора особенностей реакций и состава граната и биотита в различных ассоциациях можно сделать следующее заключение:

- 1. Железистость граната и биотита с усилением метаморфизма метапелитовых пород снижается; последовательное снижение, особенно для биотита, отмечается только в пределах определенной минеральной ассопиапии.
- 2. Присутствие в широком температурном интервале гранат-кордиеритбиотитовых гнейсов с силлиманитом обусловлено, видимо, близостью термодинамических условий метаморфизма в породах ладожской формации п условий протекания моновариантной реакции (2).

Некоторые из отмеченных особенностей состава минералов имеют общезначимый характер.

 Институт земной коры
 Поступило

 при Ленинградском государственном упиверситете
 2 IX 1971

 им. А. А. Жданова

ЦИТИРОВАННАЯ ЛИТЕРАТУРА

¹ Д. С. Коржинский, Зап. Всесоюзн. мин. общ., 65, 2 (1936). ² А. А. Мараку шев, Проблемы минеральных фаций метам. и метасом. горных пород, «Наука», 1965. ³ С. П. Кориковский, Метаморфизм, гранитизация и постмагматич. процессы в докембрии Удокано-Становой зоны, «Наука», 1967. ⁴ Ю. В. Нагайцев, В. И. Лебедев, Вестн. Ленингр. унив., 18 (1968). ⁵ Н. Г. Судовиков и др., Геомогическое развитие глубинных зон подвижных поясов, Наука», 1970. ⁶ В. И. Лебедев и др., Сборн. Минералогия и геохимия, 1 (1964). ⁷ Н. Г. Судовиков и др., Геология и петрология южного обрамления Алданского щита, «Наука», 1965. ⁸ Т. А. Р. К wak, Contrib. Mineral. Petrol., 26, 3 (1970). ⁹ Н. Л. Добрецов и др., Фации метаморфизма, 1, М., 1970. ¹⁰ Н. Н. Steuhl, Chem. Erde, 21, 3—4 (1962). ¹¹ Ю. В. Нагайцев, Вестн. Ленингр. унив., 18 (1965).